



ЗЕЛЕНЫЕ СЛАНЦЫ ЛЕМВИНСКОЙ ЗОНЫ



К. г.-м. н.
А. А. Соболева
soboleva@geo.komisc.ru



Д. г.-м. н.
Я. Э. Юдович



С. н. с.
М. П. Кетрис



Студент СГУ
А. В. Васильев

Проблемы возраста и диагностики субстрата зеленосланцевых толщ восточной части Лемвинской зоны (Тынаготско-Тыкотловский район), относимых в настоящее время к верхнекембрийско-нижеордовикской погурейской свите [2], насчитывают много лет. При проведении геолого-съемочных работ в разное время эти толщи, входящие в центральный пакет пластин Лемвинского аллохтона, считались верхнепротерозойско-кембрийскими (А. А. Саранин и др., 1968), верхнепротерозойско-нижеордовикскими (Э. С. Соседков и др., 1974), верхнепротерозойско-кембрийскими и среднеордовикскими [11], верхнекембрийско-нижеордовикскими [3], нижне-среднеордовикскими (Мезенцев, 1974). Ввиду отсутствия находок фауны в этих породах их возраст в настоящее время принимается условно раннепалеозойским по tremadокским конодонтам, собранным севернее, на Полярном Урале (Н. В. Лютиков, рабочие материалы), и нижеордовикскому комплексу микрофоссилий, определенных в метатерригенных породах западного пакета пластин аллохтона [3]. После U-Pb датировки цирконов из метариолитов, залегающих среди зеленосланцевых толщ погурейской свиты, представилась возможность достоверно определить, по крайней мере, верхнюю временную границу формирования пород субстрата зеленых сланцев. Возраст тела кислых вулканитов, расположенного в бассейне р. Большая Тыкотлова, в пределах Тыкотловского покрова, составляет 484.3 ± 3.1 млн лет [4, 8], а цирконовые датировки массивов риолитов пожемского комплекса, расположенных севернее, на водоразделе руч. Пожемавис и р. Мокрая Сыня, в пределах Грубеинского покрова, дают интервал 475—

505 млн лет [12, 13]. На последней геологической карте м-ба 1:200 000 [2] в пределах Тыкотловского покрова те кислые вулканиты, которые считаются покровными, включают в погурейскую свиту, а риолиты, для которых предполагается интрузивное залегание, относят к погурейским субвулканическим образованиям. Тем не менее проблема определения фациальной принад-

лежности линзовидных тел метаморфизованных риолитов без четких эндогенных контактов не всегда решаема.

В предлагаемой читателю статье будут детально рассмотрены только зеленые сланцы погурейской свиты, вмещающие упомянутые выше раннепалеозойские кислые вулканиты и обнаруживающиеся в бассейнах рек Большая Тыкотлова и Большая Тынагота (рис. 1).

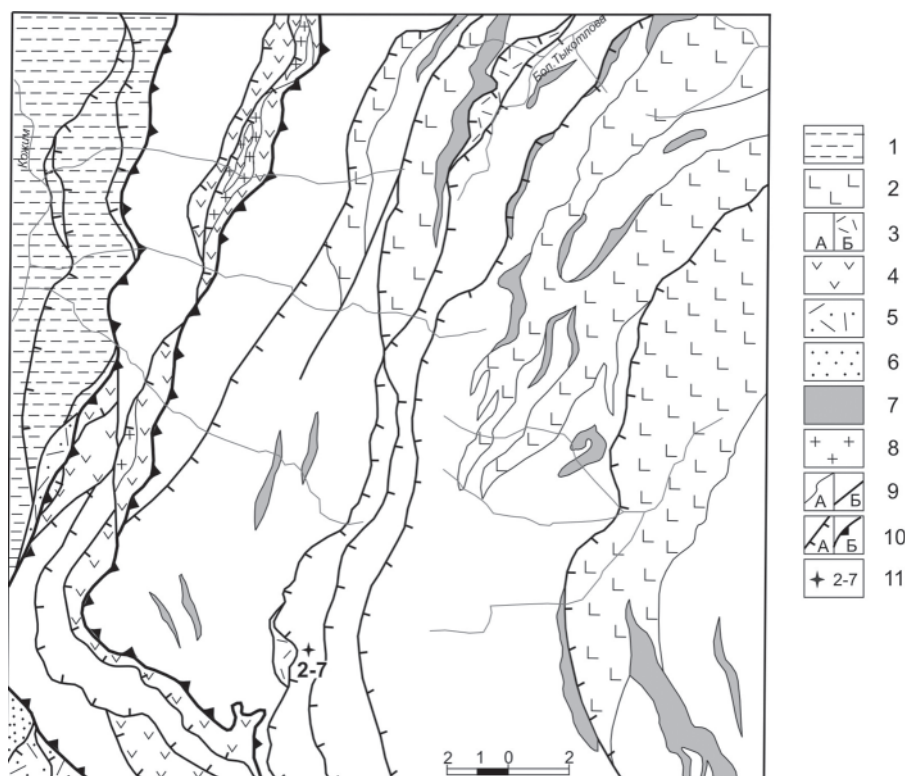


Рис. 1. Геологическая схема и точки отбора проб. Составлена на основе ГК-200 листа Q-41-XXVI [2].

1 — осадочные породы O_2-D_2 ; 2 — метабазальты кокпельской свиты O_1 ; 3 — вулканогенные, осадочные и вулканогенно-осадочные породы погурейской свиты, погурейские субвулканические образования (ϵ_3-O_1) и мелкие субвулканические тела долеритов орангьюганского-лемвинского комплекса O_{1-2} (а), крупные поля риолитов погурейской свиты (б); 4 — метавулканиты основного и кислого состава молюдовской свиты и молюдовские субвулканические образования R_3-V_1 ; 5 — метавулканиты кислого состава саблегорской свиты (R_3-V_1) и метатерригенные породы арьяншорской толщи (V_1); 6 — метатерригенные породы моронинской свиты R_3 ; 7 — крупные субвулканические тела габбро-долеритов и долеритов орангьюганского-лемвинского комплекса O_{1-2} ; 8 — граниты лемвинского комплекса ϵ_3 ; 9 — границы геологические (а) и тектонические (б); 10 — надвиги; 11 — точки отбора образцов



Упомянутые сланцы являются наиболее распространенными породами на рассматриваемой территории. Исследованные нами образцы были отобраны юго-западнее наиболее крупного тела метаролитов, расположенного на правобережье руч. Яроташор. Э. С. Соседковым (1974) при картировании среди этих пород были выделены два главных их типа: 1) зеленые сланцы по основным эфузивам и их туфам; 2) грубополосчатые так называемые книжные сланцы.

Зеленые сланцы первого типа (обр. 2—4) имеют темно-зеленый цвет, сланцеватую текстуру и часто порфиробластовую структуру, содержат переменные количества кварца, альбита, хлорита, эпидота и актинолита. По минеральному составу они подразделяются на два подтипа.

Кварц-альбит-хлорит-эпидот-актинолитовые сланцы имеют мелкоперфиробластовую структуру за счет выделяющихся на фоне основной ткани зерен эпидота и лейкоксена (рис. 2, а). Основная ткань характеризуется мелкокристаллической лепидогранобластовой структурой, благодаря сочетанию в ней зерен эпидота, кварца, альбита, призм и игл актинолита и беспорядочно расположенных чешуй хлорита. Текстура породы сланцеватая, с элементами свилеватой. Мелкие призмы акти-

нолита участками ориентированы субпараллельно, огибая агрегаты альбита и эпидота. Минеральный состав породы: актинолит (размер индивидов до 0.5 мм, содержание 45 об. %), кварц и альбит (до 0.15 мм, 30 об. %), хлорит (0.15—0.20 мм, 15 об. %), эпидот (0.01—0.20 мм, 5 об. %), стильпномелан (до 0.2 мм, менее 5 об. %), апатит (до 0.15 мм, единичные зерна), лейкоксен. Последний слагает на некоторых участках до 20 % объема породы, замещая первичный титановый минерал и образуя буроватые выделения неправильной формы размером до 0.5 мм.

Для **актинолит-кварц-альбит-эпидот-хлоритовых сланцев** характерна порфиробластовая структура с двориками растяжения и очковая сланцеватая текстура (рис. 2, б). Мелкокристаллический матрикс породы, состоящий из хлорита, кварца, альбита, эпидота, титанита, актинолита, апатита имеет нематолепидогранобластовую структуру. Элементы основной ткани собраны в волнистые прослоечки, огибающие порфиробласти эпидота и альбита. Минеральный состав сланцев: хлорит (до 2.7 мм, 45 об. %), кварц и альбит (до 0.35 мм, 30 об. %), эпидот (0.08—3.6 мм, 15 об. %), титанит (0.01—0.03 мм), кальцит, гидроксиды железа.

Зеленые сланцы второго типа (обр. 5—7) характеризуются светло-се-

ровато-зеленым цветом и грубополосчатой сланцеватой текстурой. В сравнении со сланцами первого типа обогащены кварцем и альбитом, также подразделяясь на два подтипа.

Актинолит-эпидот-хлорит-кварц-альбитовые сланцы состоят из чередующихся полос, отличающихся количественным содержанием темноцветных и салических минералов. Имеют нематолепидогранобластовую структуру (рис. 2, в). Отмечаются единичные порфиробласти эпидота. Минеральный состав пород: кварц и альбит (размер индивидов до 0.2 мм, содержание от 60 об. % в меланократовых прослоях до 90 об. % в лейкократовых прослоях), хлорит (0.1 мм, от 35 до 10 об. %), эпидот (до 0.36 мм, от 2 до 1 об. %), актинолит (до 0.3 мм, от 0 до 2 об. %), серицит (до 0.2 мм), титанит (0.01—0.03 мм), апатит (до 0.12 мм). Светлые кварц-альбитовые прослои сланцев концентрируют актинолит. В более темных прослоях в большей степени сосредоточены хлорит, эпидот, серицит, титанит (участками до 10—15 об. %). Кроме того, в рассматриваемых сланцах содержится плагиоклаз, умеренно соссюритизированный в центральных частях зерен, вероятно реликтовый, первоначально имевший кислый-средний состав. Этот минерал образует выделения неправильной формы размером до 2.6 мм. Вероятно вторым реликтовым минералом является алланит, встречающийся в виде зерен неправильной формы размером 0.03—0.15 мм с сильным плеохроизмом от светло- до густо-красновато-коричневого. Наличие в породе реликтовых минералов позволяет предположить, что сланцы образовались при метаморфизме вулканической или вулканогенно-осадочной породы кислого-среднего состава. В таком случае не исключено, что и полосчатость сланцев является унаследованной от первичной флюидальности.

Для **эпидот-сериицит-хлорит-кварц-альбитовых сланцев**, отличающихся от вышеописанных пород большим содержанием серицита и отсутствием актинолита и алланита, характерна лепидогранобластовая структура, полосчатая и линзовидно-полосчатая текстура (рис. 2, г). В светлых полосах зерна кварца и альбита размером 0.10—0.15 мм слагают 60—95 % объема, тогда как в темных полосах такой же объем сложен мелкочешуйчатыми (около 0.15 мм) минералами — хлоритом и железосодержащим серицитом.

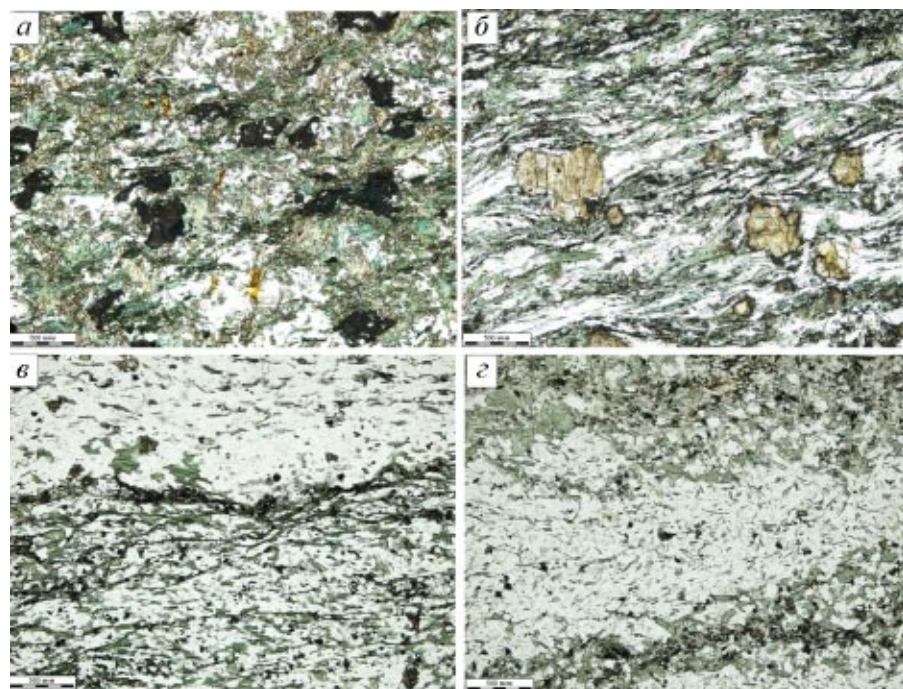


Рис. 2. Микрофотографии горных пород погурейской свиты. Зеленые сланцы первого типа: а — кварц-альбит-хлорит-эпидот-актинолитовый сланец с порфиробластами лейкоксена (обр. 4); б — актинолит-кварц-альбит-эпидот-хлоритовый сланец с порфиробластами эпидота (обр. 2). Зеленые сланцы второго типа (полосчатые «книжные» сланцы): в — актинолит-эпидот-хлорит-кварц-альбитовый сланец (обр. 5); г — эпидот-сериицит-хлорит-кварц-альбитовый сланец (обр. 6)



В рассматриваемых породах встречаются также зерна эпидота размером 0.05—0.10 мм, мелкозернистые буроватые скопления титанита (до 5 об. %), плагиоклаз кислого-среднего состава в виде выделяющихся на фоне основной массы более крупных (0.15 мм) слабо-состоритизированных зерен, а также индивиды апатита размером около 0.05 мм.

Для реконструкции первичного состава зеленых сланцев нами были использованы классификация магматических горных пород [5], диаграммы А. Н. Неелова а-б для реконструкции состава метавулканических и метаосадочных пород [7], а также химическая классификация осадочных горных пород и модульные диаграммы Я. Э. Юдовича и М. П. Кетрис [14].

По химическому составу зеленые сланцы первого типа соответствуют основным магматическим породам толеитовой серии (табл. 1, рис. 3). Породы относятся к нормальному петрохимическому ряду ($\text{Na}_2\text{O} + \text{K}_2\text{O} = 3.42 - 3.83\%$), характеризуются резко выраженным натриевым типом щелочности ($\text{Na}_2\text{O}/\text{K}_2\text{O} = 28 - 42$). По содержанию K_2O они соответствуют низкокалиевым базальтам (рис. 4). По концентрации TiO_2 (2.16—2.29 %) породы атtestуются как «весьма высокотитанистые», а по величине коэффициента глиноземистости al' (0.55—0.67) как низкоглиноземистые. Величины отношения $\text{K}_2\text{O}/\text{TiO}_2$ составляют в них 0.04—0.06, что характерно для толеитовых базальтов. На диаграмме А. Н. Неелова точки состава этих сланцев попадают в поля базалтоидов и андезибазальтов.

Мы произвели сравнение этих пород с метавулканитами близкого химического состава, развитыми на Припольном Урале и в южной части Полярного Урала в верхнекембрийско-нижнеордовикской погурейской, нижнеордовикской кокпельской и позднерифейско-вендинской молудвожской свитах, а также с метабазитами среднерифейских [1] пуйвинской, манъхобеинской и щекурынской свит из ядра Хобеизской антиклинали. В результате выяснилось, что исследуемые нами зеленые сланцы по составу очень схожи с метабазитами погурейской и кокпельской свит. Однако более важным мы считаем явное отличие наших зеленых сланцев от большей части остальных — заранее докембрийских метабазитов. Эти различия сводятся к следующему:

1) раннепалеозойские метабазиты имеют меньшую общую щелочность при более натровом ее характере; 2) в них несколько больше CaO и MgO и меньше TiO_2 ; 3) по величине коэффициента al' они низкоглиноземистые, тогда как большинство докембрийских метабазитов относится к умеренно-глиноземистым.

Зеленые сланцы второго типа («книжные») по химическому составу похожи на средние и кислые магматические породы толеитовой серии (табл. 1, рис. 3). Они относятся к нормальному и умеренно-щелочному петрохимическим рядам ($\text{Na}_2\text{O} + \text{K}_2\text{O}$ соответственно 7.06 и 4.99 %), характеризуются натриевым типом щелочности ($\text{Na}_2\text{O}/\text{K}_2\text{O} = 70$ и 8) при низком содержании K_2O (рис. 4). По концентрации TiO_2 (0.75—0.88) эти породы весьма и умеренно низкотитанистые, а по величине al' (1.48 и 1.67) — высокоглиноземистые. На одной из диагностических диаграмм А. Н. Неелова точки состава рассматриваемых сланцев попадают в поля дацитоидов и риодактиоидов, хотя не исключается и осадочный субстрат. На другой диаграмме (для реконструкции протолита метаосадочных пород) точки тех же пород попадают в поле составов кислых туффитов, а также оли-

гомиктовых и полимиктовых алевролитов. Мы считаем, что в данном случае более вероятен вариант кислых туффитов, поскольку, как было отмечено выше, в составе наших сланцев присутствует реликтовый алланит — типичный минерал вулканических пород кислого состава.

Данные химического анализа зеленых сланцев и метабазальтов (53 пробы и анализа) были подвергнуты обработке в рамках так называемого Стандарта-ЮК [14]. Результаты показаны в табл. 2 и на модульной диаграмме (рис. 5). Базу для этой работы составили пять выборок: а) зеленых сланцев погурейской свиты двух типов (5 проб); б) метабазальтов погурейской свиты (9 анализов из фоновой литературы); в) метабазальтов кокпельской свиты (15 проб); г) зеленых сланцев-метабазитов из молудвожской свиты (9 проб); д) зеленых сланцев-метабазитов манъхобеинской и щекурынской свит (8 анализов из опубликованной литературы); е) сланцев пуйвинской свиты (7 проб). Поскольку в свое время предлагалось [6] объединить манъхобеинские и щекурынские метабазиты в единый манъхобеинский магматический комплекс, мы будем те и другие называть манъхобеинскими.

Таблица 1
Химический состав зеленых сланцев погурейской свиты, мас. %

Компоненты	Зеленые сланцы				
	Первого типа			Второго типа	
	2	3	4	5	7
SiO_2	49.31	50.70	46.72	62.33	65.33
TiO_2	2.29	2.16	2.25	0.75	0.88
Al_2O_3	11.91	14.49	13.69	15.75	13.93
Fe_2O_3	9.13	4.60	5.10	1.55	1.99
FeO	5.20	7.92	9.14	4.32	4.48
MnO	0.22	0.19	0.23	0.07	0.12
MgO	4.96	5.80	6.23	3.54	2.94
CaO	10.06	7.15	9.17	2.24	2.50
Na_2O	3.34	3.70	3.61	6.96	4.42
K_2O	0.08	0.13	0.10	0.10	0.57
P_2O_5	0.45	0.53	0.20	0.14	0.21
ппп	3.05	2.88	3.26	2.26	2.63
Сумма	100.00	100.25	99.70	100.01	100.00
H_2O^+	0.34	0.33	0.27	0.20	0.20
CO_2	0.13	0.05	0.23	0.00	0.00

Примечание. Состав пород определен методами рентгенофлюресцентного (обр. 2, 5, 7) и химического анализов (обр. 3 и 4) в ИГ Коми НЦ УрО РАН

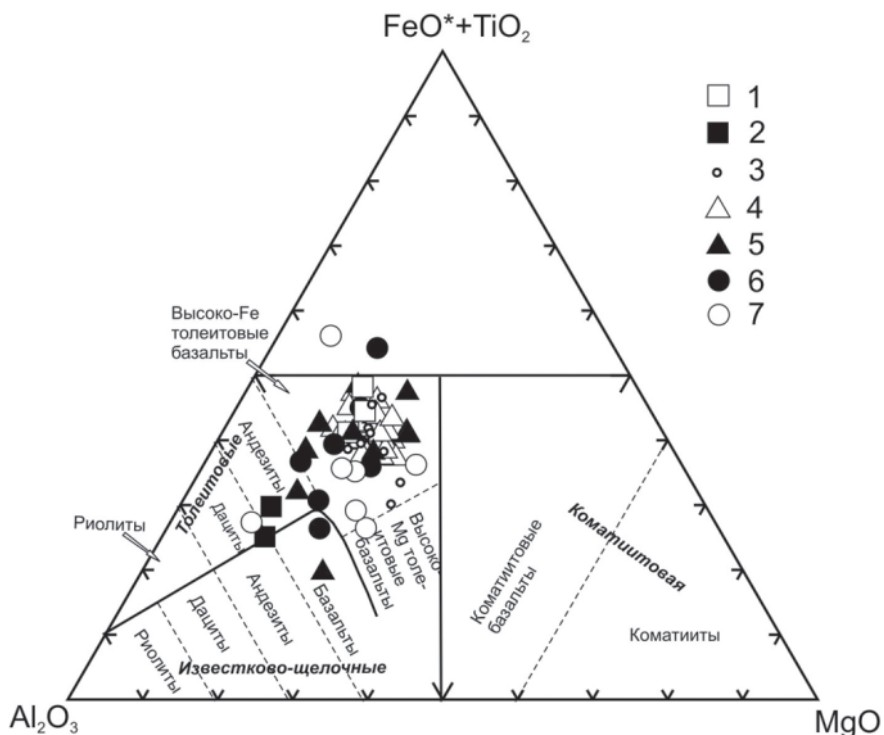


Рис. 3. Составы горных пород Тыкотловско-Тынаготского района на диаграмме С. Л. Йенсена [16].

1, 2 — зеленые сланцы погурейской свиты ϵ_3 -O₁ первого (1) и второго (2) типов; 3–5 — метабазалты: погурейской свиты ϵ_3 -O₁ (3), кокпельской свиты O₁ (4), нижней подсвиты молюдовожской свиты R₃ (5); 6 — метабазиты маньхобеинской и щекурыинской свиты (R₂?); 7 — метабазиты пуйвинской свиты R₂. Составы метабазалтов заимствованы из производственного отчета по ГМК-200 листа Q-41-XXVI [2] и из работы [6]

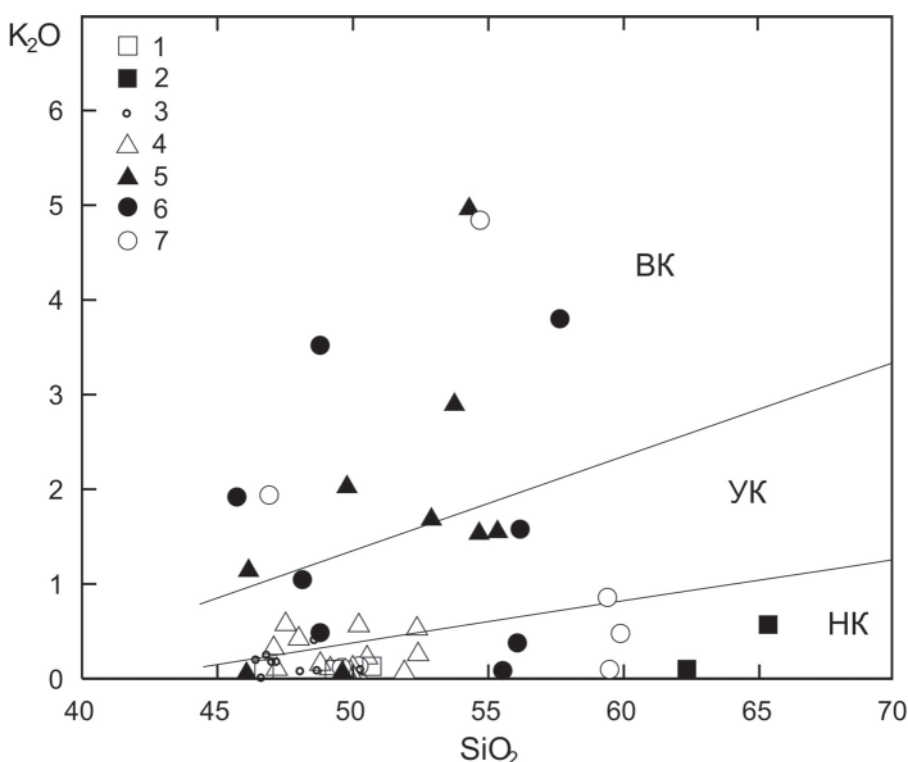


Рис. 4. Типизация пород по содержанию K₂O и SiO₂. НК, УК, ВК — соответственно низко-, умеренно- и высококалиевые породы. Условные обозначения расшифрованы на рис. 3

Как видно на модульной диаграмме «фемический модуль ФМ — титановый модуль ТМ» (рис. 5), вся совокупность анализируемых данных подразделяется на семь кластеров и пять индивидуальных составов, не подлежащих усреднению.

Кластер I представлен погурейскими зелеными сланцами второго типа, т. е. микрослоистыми серо-зелеными породами «осадочного» вида. Сюда же попал один анализ пуйвинских сланцев (обр. 2004/1). Все эти породы аттестуются как щелочные псевдосиаллиты ввиду своей повышенной магнезиальности (MgO > 3 %). Титановый модуль у них невыразительный, отвечает среднему для платформенных глин. Однако значительное присутствие в соответствующих породах полевых шпатов (НКМ = 0.41) и явная доминация среди последних альбита (Na₂O = 5.69, ШМ = 17) показывают, что это отнюдь не простые метапсаммиты, а скорее всего обогащенные хлоритом (магний) и альбитом (натрий) метапсаммиты (или метаалевролиты). К сожалению, в такой ситуации почти всегда присутствует некая амбивалентность диагнона (метаграувакка или метатуффоид?), ибо аналогичный состав вполне могут иметь и продукты метаморфизма базитовых или скорее андезитовых туффоидов. Но отличить пирокластику от вулканокластики можно только в неметаморфизованных породах, и то лишь по единственному признаку — относительной окатанности зерен вулканокластов по сравнению с пирокластами. Итак, зеленые сланцы второго типа могут быть как альбитовыми метатуффоидами, так и альбитовыми метаграувакками.

Понятно, что правильный выбор из этой альтернативы имел бы большое значение для понимания возраста погурейской свиты. Ибо, если мы имеем туффоиды, то можно говорить о всех зеленых сланцах в терминах «базалты и их туфы (туффиты)», считая погурейскую свиту допалеозойской соответственно общепринятому для севера Урала возрасту бедамельских (маньинских, саблегорских и пр.) базальтоидов. Если же это все-таки метаграувакки, то возраст их протолита может быть и значительно моложе возраста их петрофонда (т. е. размывавшихся основных или средних вулканитов). В этом варианте погурейская свита может оказаться и раннепалеозойской, например, ордовикской.



Химический состав метабазитов и зеленых сланцев севера Урала, мас. %

Компо-ненты и модули	Кластеры							Составы вне кластеров				
	I	IIa	IIb	IIIa	IIIb	IV	V	1018/06	4011/01	3138	4039	3139-2
	Щел.-псевдо-сиаллит	Псевдо-сиаллит	Псевдо-сиаллит	Ті-щел.-псевдо-сиаллит	Ті псевдо-сиаллит	Псевдо-гидролизат	Ті псевдо-гидролизат	Ті псевдо-гидролизат	Псевдо-гидролизат	Ті-щел.-псевдо-гидролизат	Ті псевдо-гидролизат	Псевдо-гидролизат
Число проб	3	4	7	2	3	27	2	Единичные пробы				
SiO ₂	62.39	49.15	56.70	54.51	54.87	48.93	46.12	49.78	49.60	45.66	48.76	46.87
TiO ₂	0.85	0.94	1.09	2.32	2.48	1.75	3.27	2.77	1.90	3.15	3.66	1.97
Al ₂ O ₃	15.54	15.29	14.11	13.37	14.02	13.56	13.14	12.79	14.38	17.93	11.45	15.89
Fe ₂ O ₃	2.05	4.32	3.66	5.07	7.44	4.54	6.83	9.66	3.43	3.43	5.16	3.42
FeO	4.33	5.34	5.94	5.01	4.16	8.48	8.25	5.18	8.64	6.77	11.33	7.63
MnO	0.09	0.15	0.19	0.10	0.17	0.20	0.24	0.31	0.25	0.12	0.24	0.2
MgO	3.16	6.74	5.59	5.56	4.38	7.06	9.37	5.01	7.78	4.50	5.13	7.47
CaO	2.09	10.91	4.93	6.11	4.25	9.33	6.56	5.57	5.94	8.15	8.99	7.21
Na ₂ O	6.13	1.69	2.58	1.34	2.40	2.85	2.29	2.65	0.94	3.24	1.75	2.72
K ₂ O	0.26	1.20	1.26	4.90	2.00	0.20	0.60	2.02	0.05	1.92	0.49	1.94
P ₂ O ₅	0.16	0.17	0.18	0.18	0.80	0.24	0.40	0.77	0.18	1.23	0.43	0.25
ппп	2.49	3.65	3.42	1.86	2.80	2.56	2.96	3.09	6.55	3.50	2.22	4.10
Сумма	99.53	99.53	99.64	100.29	99.76	99.70	97.05	99.60	99.64	99.60	99.61	99.67
ГМ	0.37	0.53	0.44	0.47	0.52	0.58	0.69	0.62	0.58	0.69	0.65	0.62
ФМ	0.15	0.34	0.27	0.29	0.29	0.41	0.54	0.40	0.41	0.32	0.45	0.40
ТМ	0.054	0.062	0.077	0.173	0.177	0.129	0.249	0.217	0.132	0.176	0.320	0.124
НКМ	0.41	0.19	0.27	0.47	0.31	0.22	0.22	0.37	0.07	0.29	0.20	0.29
ЩМ	23.87	1.40	2.04	0.27	1.20	14.30	3.84	1.31	18.80	1.69	3.57	1.40

Примечание. Петрохимические модули: ГМ (гидролизатный) = $(\text{TiO}_2 + \text{Al}_2\text{O}_3 + \text{Fe}_2\text{O}_3 + \text{FeO} + \text{MnO}) / \text{SiO}_2$; ФМ (фемический) = $= (\text{Fe}_2\text{O}_3 + \text{FeO} + \text{MnO} + \text{MgO}) / \text{SiO}_2$; ТМ (титановый) = $\text{TiO}_2 / \text{Al}_2\text{O}_3$; НКМ (нормированной щелочности) = $(\text{Na}_2\text{O} + \text{K}_2\text{O}) / \text{Al}_2\text{O}_3$; ЩМ (щелочной) = $\text{Na}_2\text{O} / \text{K}_2\text{O}$

Кластеры IIa и IIb отчасти перекрываются и представлены смесью докембрийских зеленых сланцев — маньхобеинских и пуйвинских (кластер IIa); маньхобеинских, молодвожских и пуйвинских (кластер IIb). Первые в среднем отвечают метабазальтам, вторые — андезибазальтам, хотя среди них есть образцы и с «андезитовым» содержанием SiO₂ около 60 %. Те и другие аттестуются нами как псевдосиаллиты, но первые являются более кальциевыми (CaO 10.91 против 4.93 %).

Кластеры IIIa и IIIb перекрываются еще сильнее, отличаясь главным образом по соотношению щелочей и содержанию фосфора. Соответствующие породы аттестуются как титанистые псевдосиаллиты (в IIIa — щелочные), будучи представленными смесью маньхобеинских и пуйвинских (IIIa), молодвожских и маньхобеинских (IIIb) сланцев. Сильная изменчивость ряда параметров показывает, что эти породы существенно изменены процессами ал-

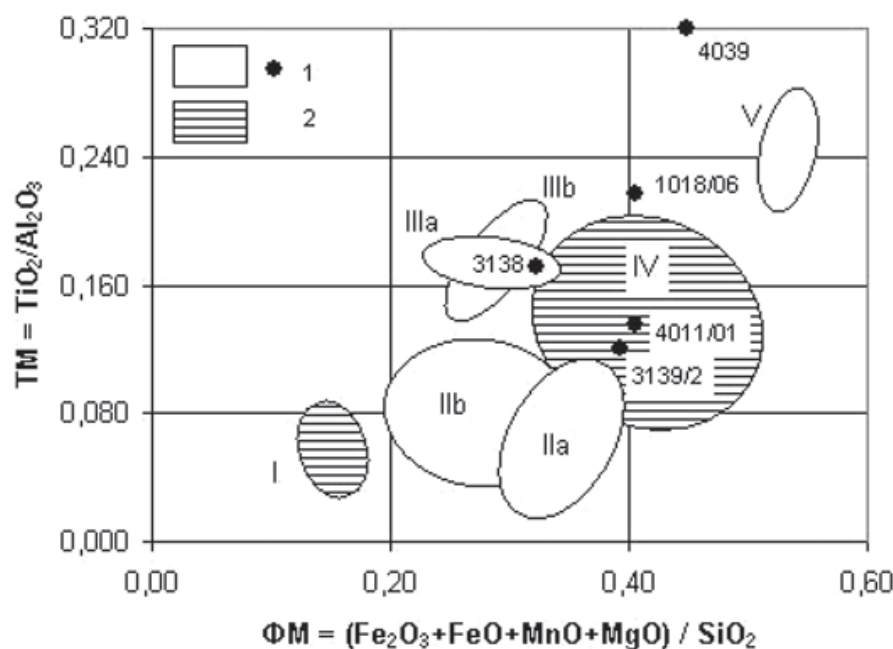


Рис. 5. Модульная диаграмма для докембрийских (1) и палеозойских (2) метабазитов севера Урала. Пояснения в тексте



лохимического метаморфизма. Породы кластера IIIa — существенно калиевые и малофосфористые, в них больше полевых шпатов (НКМ 0.47 против 0.31). В породах кластера IIIb калия гораздо меньше (K_2O 2.0 против 4.9 %), но повышенено содержание P_2O_5 , в среднем составляющее 0.8 %, а в молюдовожском метаандезибазальте (обр. 4054/2) достигающее 1.01 %.

Кластер IV — очень «рыхлый». Он представлен палеозойскими зелеными сланцами первого типа и метабазальтами погурейской и кокпельской свит. Эти породы в среднем отвечают псевдогидролизатам (т. е. типичным метабазитам), но при этом отмечается сильная дисперсия титанистости — величина ТМ при среднем значении 0.129 варьируется от 0.092 в обр. 157/4 (погурейский метабазальт) до 0.192 в обр. 2 (зеленый сланец первого типа). Думается, что такие колебания обусловлены фациальной неоднородностью. Например, по нашему опыту известно, что базитовые туфы имеют более высокий ТМ, чем лавы. Могут оказаться и различия глубинности кристаллизации, а также другие пока неизвестные нам факторы.

Более внимательное рассмотрение причин сильной дисперсии ТМ в «палеозойском» кластере IV показывает, что она обусловлена вариациями титанистости только погурейских метабазитов, поскольку выборка кокпельских метабазитов по этому признаку сравнительно однородна, характеризуясь средней величиной ТМ = 0.133 и относительно невысоким средним содержанием TiO_2 = 1.73 %. Погурейские же зеленые сланцы-метабазиты, напротив, распадаются на две группы с существенно разной титанистостью. В одной из этих групп титанистость ниже, чем в кокпельских сланцах (TM = 0.093, TiO_2 = 1.33 %), при относительно пониженной натровости (ЩМ = 11.6, Na_2O (2.3 %) и железистости (ЖМ = 0.81). В другой группе титанистость выше (TM = 0.178), эти породы обладают также повышенной натровостью (ЩМ в среднем 35.7) и повышенной железистостью (ЖМ = 0.97).

Кластер V представлен высокотитанистыми (TiO_2 = 3.27 %, TM = 0.249) молюдовожскими метабазитами, которые аттестуются как титанистые псевдогидролизаты. Из всех проанализированных пород эти выделяются также наивысшей магнезиальностью (MgO в среднем 9.37 %) и фемичностью (ФМ = 0.54). Видимо, они соответствую-

ют наиболее глубинной фации базальтоидов, в которой мы, возможно, имеем дело с продуктом гравитационной или флюидной дифференциации типа пикрита.

Составы пяти проанализированных образцов не подлежат усреднению ввиду их резких отличий от состава пород в пределах кластеров. Все эти образцы являются докембрийскими метабазитами, отличаясь лишь некоторыми особенностями.

Обр. 1018/06 (молюдовожский метабазальт) и **3138** (маньхобеинский метабазальт) характеризуются аномальными содержаниями фосфора. При этом точка последнего образца на соответствующей диаграмме попадает в контур кластера IIIa.

Точки **обр. 4011/01** (молюдовожский метабазальт) и **3139/2** (пуйвинский метабазальт) попадают в контур «палеозойского» кластера IV. Первый образец явно изменен (ппп = 6.55 %), по сравнению с палеозойскими породами в нем существенно меньше CaO (5.94 % против 9.33 % в кластере IV), ничтожно мало K_2O (0.05 %) и практически нет полевых шпатов (НКМ = 0.07). Второй образец отличается от пород кластера IV гораздо большей калиевостью (K_2O = 1.94, ЩМ = 1.4 против 14.3 в кластере IV).

Обр. 4039 (маньхобеинский метабазальт) отличается экстремальной титанистостью (TiO_2 = 3.66 %, TM = 0.320) и наибольшим обогащением железом.

В целом, основываясь на факте незначительного перекрытия областей состава на модульной диаграмме ФМ—ТМ, можно отметить следующие характерные отличия нижнепалеозойских (погурейских и кокпельских) метабазитов от докембрийских (маньхобеинских, пуйвинских, молюдовожских).

1. Если исключить легко узнаваемые по своей высокой титанистости и фемичности молюдовожские метабазиты, то нижнепалеозойские породы можно отличить от верхнедокембрийских по фемичности: ФМ у первых составляет в среднем 0.41, а у вторых 0.27—0.34.

2. Палеозойские метабазиты содержат гораздо меньше щелочей и характеризуются устойчиво высокой натровостью (ЩМ в среднем 14.3), тогда как в докембрийских породах натровость ниже, и самое главное — соотношения щелочей в них весьма изменчивы (ЩМ колеблется от 0.27 до 2.04).

Одной из причин сильной изменчивости составов докембрийских метабазитов могут быть их вторичные изме-

нения, обусловленные, в частности, процессами метасоматизма с привносом щелочей [6, 15]. Другой причиной может быть большая неоднородность первичных составов докембрийских метабазитов. Например, уже отмечалось [6], что пуйвинские метабазиты заметно отличаются от более древних щекурынских и маньхобеинских. Такие различия могут быть как фациальными (базиты гипабиссальные и покровные), так и формационными (смешение в одной выборке базитов известково-щелочной и толеитовой серий) [9, 10].

Таким образом, мы приходим к выводу о том, что зеленые сланцы первого типа представляют собой метаморфизованные толеитовые базальты, а протолитом сланцев второго типа могли служить либо вулканиты кислого-среднего состава и их туфы, либо чисто осадочные породы — граувакки, петрофонд которых могли выступить докембрийские магматиты.

Полученные данные позволяют сделать следующие выводы.

Сходство исследованных зеленых сланцев с толеитовыми базальтами погурейской и кокпельской свит; их отличие от докембрийских базитов молюдовожской, пуйвинской, маньхобеинской и щекурынской свит; наличие среди зеленых сланцев прослоев терригенных пород с обломками риолитов и гранитов, а также согласных тел и покровов позднекембрийско-раннеордовикских кислых вулканитов — всё это представляется нам весомыми аргументами в пользу раннепалеозойского возраста сланцев.

Основной вклад в формирование протолита зеленых сланцев внесли вулканиты бимодальной ассоциации — толеитовые базальты и породы вероятно дацитового состава, вулканические, вулканогенно-осадочные или вулканомиктовые терригенные образования.

Петрофонд протолита зеленых сланцев был, скорее всего, комплексным. Наряду с доордовикскими магматитами в него входили и раннепалеозойские вулканиты, образование которых было обусловлено магматической активизацией, инициированной начавшимся рифтогенезом.

Литература

- Государственная геологическая карта Российской Федерации. Масштаб 1:200 000 (новая серия). Лист Q-41-XXV (принят к изданию в 2002 г.).
- Государ-



ственная геологическая карта Российской Федерации. Масштаб 1:200 000 (новая серия). Лист Q-41-XXVI (готовится к изданию). **3.** Дембовский Б. Я., Дембовская З. П., Клюжина М. Л., Наседкина В. А. Ордовик Приполярного Урала. Геология, литология, стратиграфия. Свердловск: УрО АН СССР, 1990. 208 с. **4.** Иванов В. Н., Соболева А. А., Кузенков Н. А. Возраст риолитов района верховья реки Большая Тыкотлова (Приполярный Урал) // Геология и минеральные ресурсы европейского северо-востока России: Материалы XV Геологического съезда Республики Коми. Т. II. Сыктывкар: ИГ Коми НЦ УрО РАН, 2009. С. 28—31. **5.** Богатиков О. А., Гонышакова В. И., Ефремова С. В. и др. Классификация и номенклатура магматических горных пород. Справочное пособие. М.: Недра, 1981. 160 с. **6.** Мерц А. В., Юдович Я. Э., Кетрис М. П. Петрохимия дохобеинских метабазитов / Геохимия древних толщ Севера Урала / Ред.-сост. Я. Э. Юдович и М. П. Кетрис. Сыктывкар: Геопринт, 2002. С. 133—138. **7.** Неелов А. Н. Петрохимическая классификация метаморфизованных осадочных и вулканических пород.

Л.: Наука, 1980. 100 с. **8.** Соболева А. А., Иванов В. Н., Кузенков Н. А., Васильев А. К. Кислые вулканиты Тынаготско-Тыкотловского района (Приполярный Урал) // Петрология и минералогия севера Урала и Тимана: Сборник статей. Сыктывкар, 2008. № 5. С. 2—51 (Труды Института геологии Коми науч. центра УрО РАН. Вып. 124). **9.** Соболева А. А. О составе саблегорской свиты на Приполярном Урале // Рифты литосферы: эволюция, тектоника, магматические, метаморфические и осадочные комплексы, полезные ископаемые: Тезисы докладов Международной научной конференции (VIII чтения А. Н. Заварицкого). Екатеринбург: Изд-во ИгиГ УрО РАН, 2002. С. 212—214. **10.** Соболева А. А., Куликова К. В. Докембрийские палеоостроводужные комплексы в составеprotoуралид-тиманид Полярного Урала // Геология и минеральные ресурсы европейского северо-востока России: Материалы XV Геологического съезда Республики Коми. Т. II . Сыктывкар: Геопринт, 2009. С. 74—77. **11.** Цымбалюк А. В., Коркин В. М. Геологическая карта СССР, масштаб 1:200 000. Лист Q-41-XXVI. М., 1975. **12.** Черкашин А. В.,

Молчанова Е. В., Шишкин М. А., Матуков Д. И. и др. Результаты датирования риолитов Лемвинской структурно-формационной зоны, западный склон Полярного Урала // Структура, вещество, история литосферы Тимано-Североуральского сегмента: Материалы научн. конф. Сыктывкар: Геопринт, 2008. С. 272—277. **13.** Черкашин А. В., Шишкин М. А., Молчанова Е. В. Результаты абсолютного датирования петротипических массивов риолитов по-жемского комплекса на участке Пожемавис // Геология и минеральные ресурсы европейского северо-востока России: Материалы XV Геологического съезда Республики Коми. Т. II . Сыктывкар: Геопринт, 2009. С. 74—77. **14.** Юдович Я. Э., Кетрис М. П. Основы литохимии. СПб: Наука, 2000. 479 с. **15.** Юдович Я. Э., Кетрис М. П., Мерц А. В. Щелочные метасоматиты в комплексе доуралид / Геохимия древних толщ Севера Урала / Ред.-сост. Я. Э. Юдович и М. П. Кетрис. Сыктывкар: Геопринт, 2002. С. 139—148. **16.** Jensen L. S. A new cation plot for classifying subalkalic volcanic rocks. Ontario Div. Mines. Misc. Pap. 1976. 66 p.